

## 経口 MRI 造影剤 oral magnetic particles の ラットおよびイヌにおける腹部造影効果の検討

山田一孝<sup>1</sup>, 松村 学<sup>1</sup>, 杉原 博<sup>1</sup>, 永留由子<sup>1</sup>,  
加藤博敏<sup>2</sup>, 古賀雅久<sup>2</sup>, 宮戸文男<sup>3</sup>, 池平博夫<sup>2,4</sup>,  
館野之男<sup>2</sup>, 藤巻正慶<sup>1</sup>

<sup>1</sup>第一製薬株式会社 <sup>2</sup>放射線医学総合研究所障害臨床研究部

<sup>3</sup>福島医科大学放射線科 <sup>4</sup>千葉大学医学部附属病院放射線科

### 緒 言

超音波, X 線とともに画像診断の広い領域で MRI の有用性が認められており, 画像診断法として重要な役割を担っている。MRI は体動のない中枢神経系の診断に優位であるが, 転幹部においても MRI の有用性が認められている。

わが国では MRI の造影剤として, 末梢投与の Gd-DTPA を主成分とした薬剤（マグネビスト®, 日本シェーリング）が使用されてきた。近年, 消化管造影を目的としたクエン酸鉄アンモニウム製剤である経口 MRI 造影剤（フェリセルツ®, 大塚製薬）も利用されるようになっている。

経口造影剤として, 陽性造影剤では Gd-DTPA<sup>1),2)</sup>, クエン酸鉄アンモニウム<sup>3)~6)</sup>, およびシーカロースポリエステル<sup>7)</sup>などの報告があり, 隆性造影剤ではフッ素化合物<sup>8)</sup>, カオリン<sup>9)</sup>, 硫酸バリウム<sup>10)~12)</sup>, 超磁性酸化鉄 (super paramagnetic iron oxide, 以下 SPIO と略す)<sup>13)~16)</sup>などの報告がある。また, ブルーベリージュースは Mn 濃度を調節することで

T<sub>1</sub> 強調画像で陽性造影効果を, T<sub>2</sub> 強調画像で隆性造影効果を示すとの報告<sup>17)</sup>もある。しかし, 臨床診断において陽性造影剤が優れるか隆性造影剤が優れるかはまだ結論が出ていない。

Oral Magnetic Particles (OMP) は Nycomed 社 (ノルウェー) で創製された SPIO よりなる隆性造影剤である。OMP の SPIO は T<sub>2</sub>\* の強力な短縮効果を有し, 局所的に不均一な磁場を生じることで消化管を無信号描出し, 消化管とそれに隣接する臓器との識別 (十二指腸と脾臓) および腫瘍性病変 (特に卵巣腫瘍, 悪性リンパ腫, 子宮癌) の検出に威力を発揮することが期待されている。

本報では, ラットで陽性造影剤と隆性造影剤の造影効果を比較し, イヌで OMP の T<sub>1</sub> 強調画像, プロトン密度画像および T<sub>2</sub> 強調画像における造影効果を検討したので報告する。

### 実験材料および方法

#### 1) 造影剤

OMP はスルホン化したスチレン-ジビニルベンゼン共重合体の球状粒子表面に磁性酸化鉄の結晶子を保持させたもので, OMP および保

キーワード oral magnetic particles, super paramagnetic iron oxide, MRI

持されている結晶子の大きさはそれぞれ 3~4  $\mu\text{m}$  および 0.08  $\mu\text{m}$  以下である。製剤は顆粒状で OMP の消化管への均一な分布を目的に増粘剤が添加されている。

実験直前に本製剤 5.0 g (OMP として 100 mg 含有) に蒸留水 200 ml を加え溶解し、1 分間十分にスパートルで攪拌した。投与量は OMP の懸濁液として、ラットには 4.0 ml/animal を 1 回経口投与、イヌには 280 ml/animal を 40 ml づつ 7 回に分けて経口投与した。また、ラットには陽性造影剤と陰性造影剤の比較のために陽性造影剤として、オリーブオイルあるいは市販の鉄含有飲料（鉄骨飲料<sup>®</sup>、大塚製薬）4.0 ml/animal を、それぞれ 1 回投与した。

### 2) 動物

実験に供した動物は、雄ウィスター系ラット（体重約 300 g, n=3）および雌ビーグル種イヌ（体重約 10 kg, n=2）である。動物は空調飼育室（温度 23±2°C、相対湿度 55±15%）で、金属製ケージに収容し、市販の飼料および上水道水を摂取させた。

### 3) MRI 装置

本実験の画像の撮像には 1.5 T の超伝導マグネットよりなる臨床用 MRI 装置 Gyroscan S15 (Philips Medical Systems) を使用した。コイルは標準仕様の膝コイル（ラット）およびボディーコイル（イヌ）を使用した。

### 4) 撮像条件

#### a) ラット

陽性造影剤と陰性造影剤の比較のために、オリーブオイルあるいは鉄含有飲料投与後の  $T_1$  強調画像 ( $\text{TR}/\text{TE}=500/25 \text{ ms}$ )、OMP 投与後の  $T_2$  強調画像 ( $\text{TR}/\text{TE}=1800/80 \text{ ms}$ ) およびプロトン密度画像 ( $\text{TR}/\text{TE}=1800/20 \text{ ms}$ ) を撮像した。

#### b) イヌ

撮像条件による造影効果の差を見るため、

OMP 投与後の  $T_1$  強調画像 ( $\text{TR}/\text{TE}=500/25 \text{ ms}$ )、 $T_2$  強調画像 ( $\text{TR}/\text{TE}=2200/90 \text{ ms}$ ) およびプロトン密度画像 ( $\text{TR}/\text{TE}=1800/30 \text{ ms}$ ) を撮像した。

### 5) 実験方法

#### a) ラット

OMP、オリーブオイルあるいは鉄含有飲料それぞれ 4.0 ml を 1 回、覚醒下の動物に胃ゾンデにより経口投与し、投与後に抱水クロラール 40 mg/ml/100 g の腹腔内投与により全身麻酔を施した。動物に RF コイルを巻き、腹臥位で、オリーブオイルあるいは鉄含有飲料投与後の  $T_1$  強調画像を、OMP 投与後のプロトン密度画像および  $T_2$  強調画像を撮像した。MRI 撮像後、それぞれの画像を視覚的に比較した。

#### b) イヌ

OMP を覚醒下の動物に 1 回 40 ml を胃ゾンデを用い強制投与した。OMP を消化管内に均一に分布させるため、投与の回数は撮像から逆算して 4 時間、2 時間、1 時間 30 分、1 時間、30 分、15 分および 5 分前の計 7 回とした。この投与条件は事前に予備検討を行い決定した。ジアゼパム（ホリゾン<sup>®</sup>、山之内製薬）10 mg/2 ml/animal の筋肉内投与による前処置後、ペントバルビタール（ネンブタール<sup>®</sup>、大日本製薬）25 mg/0.5 ml/kg の静脈内およびフェノバルビタール（東京化成）80 mg/ml/kg の皮下投与により全身麻酔を施した。動物を MRI の RF コイル内に腹臥位に置き、OMP 投与後の  $T_1$  強調画像、プロトン密度画像および  $T_2$  強調画像を撮像した。撮像にあたり呼吸同期は実施しなかった。MRI 撮像後、視覚的にそれぞれの画像を比較した。

### 成績

#### a) ラット

OMP 投与後の  $T_2$  強調画像で、胃および小

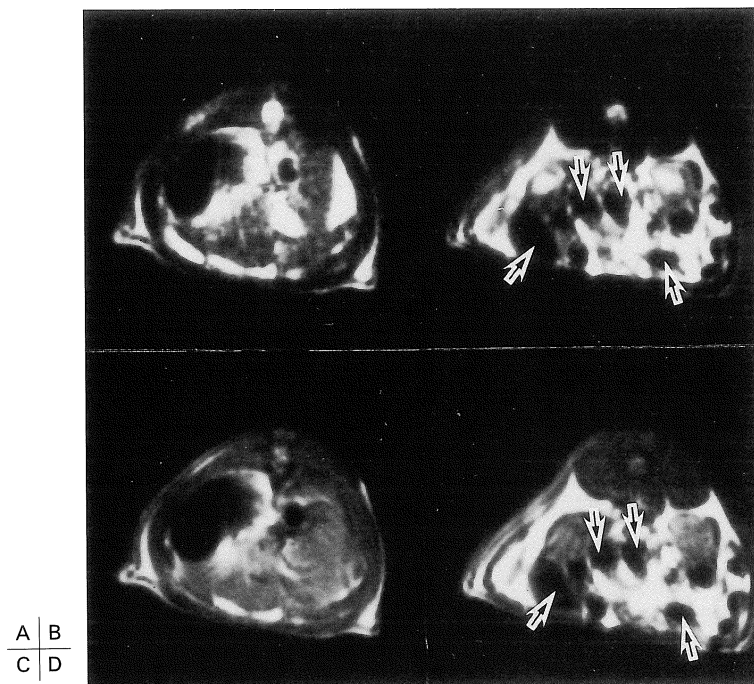


Fig. 1. A :  $T_2$  weighted image of upper abdomen of rat after oral administration of OMP. (TR/TE=1800/80)

B :  $T_2$  weighted image of lower abdomen of rat after oral administration of OMP. (TR/TE=1800/80)

C : Proton density image of upper abdomen of rat after oral administration of OMP. (TR/TE=1800/20)

D : Proton density image of lower abdomen of rat after oral administration of OMP. (TR/TE=1800/20)

Arrows show small intestine.

腸は無信号を示し、消化管（矢印）の存在部位を特定することができた(Fig. 1. A, B). OMP 投与後のプロトン密度画像でも同様に消化管（矢印）が無信号を示し、その存在部位を特定することができた (Fig. 1. C, D).  $T_2$  強調画像とプロトン密度画像とを比較すると、陰性の造影効果は両画像間で変わらないものの、プロトン密度画像の方が見かけ上画像の信号/ノイズ比（以下 S/N と略す）が大きく、優れていた。

オリーブオイル投与後の  $T_1$  強調画像で胃および小腸は高信号を示し、胃（矢印）を特定することは容易であったが、小腸は腹腔内の脂肪

に隠蔽され、その部位を特定することは困難であった (Fig. 2. A, B). 鉄含有飲料投与後の  $T_1$  強調画像でも、胃は同様に高信号を示したが、下部消化管は充分に造影されなかった (Fig. 2.C, D).

#### b) イヌ

OMP 投与後の  $T_2$  強調画像 (Fig. 3. A), プロトン密度画像 (Fig. 3. B) および  $T_1$  強調画像 (Fig. 3. C) は、いずれも消化管は無信号を示し、小腸および大腸（矢印）を特定することが可能であった.

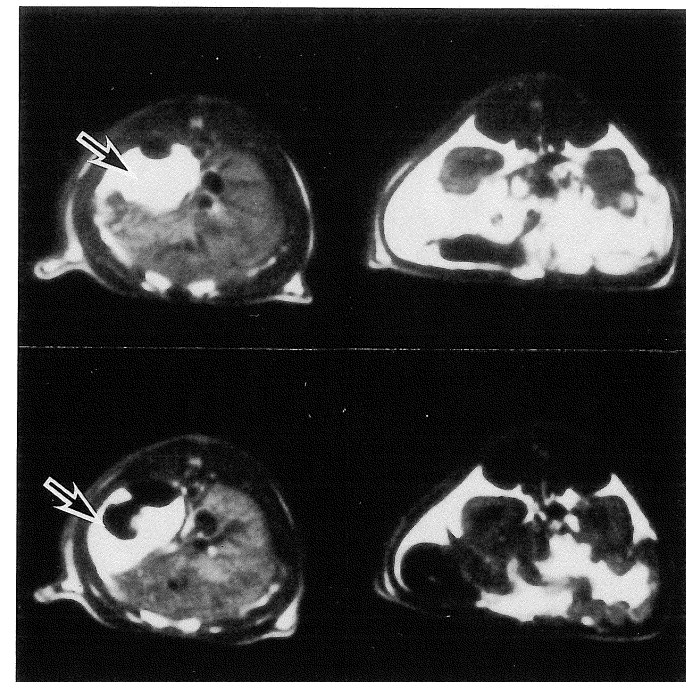


Fig. 2. A :  $T_1$  weighted image of upper abdomen of rat after oral administration of olive oil. (TR/TE=500/25)

B :  $T_1$  weighted image of lower abdomen of rat after oral administration of olive oil. (TR/TE=500/25)

C :  $T_1$  weighted image of upper abdomen of rat after oral administration of ferric juice. (TR/TE=500/25)

D :  $T_1$  weighted image of lower abdomen of rat after oral administration of ferric juice. (TR/TE=500/25).

Arrow shows stomach.

### 考 察

ラットにOMPを投与した場合、プロトン密度画像、 $T_2$ 強調画像でいずれも消化管は無信号となり同様のコントラストの画像が得られた。しかし、見かけ上のS/Nがよい点でプロトン密度画像が $T_2$ 強調画像より診断上優れていると考えられる。ラットにオリーブオイルを投与した場合には消化管は高信号を示したが、腹腔内脂肪とのコントラストが不明瞭となり消化管を特定することは逆に困難となった。ラットに鉄含有飲料を投与した $T_1$ 強調画像で、下部消化管が充分に造影されなかつことは、鉄

成分が小腸で吸収されてしまったためと考えられた。経口Gd-DTPAでは下部消化管を造影するためにマンニトールを加え、吸収されにくくする工夫を行っている<sup>1)</sup>。一方、シーケロースポリエステル<sup>7)</sup>やOMPは吸収されないため経口投与で下部消化管の造影も可能である。

陽性造影剤は蠕動運動によるモーションアーチファクトを増幅<sup>16)</sup>するため鎮痙剤の投与を必要<sup>2)</sup>とすることがあるが、陰性造影剤であるOMPは蠕動運動によるモーションアーチファクトをむしろ軽減する<sup>16)</sup>。今回の検討では、オリーブオイルおよび鉄含有飲料の陽性造影効

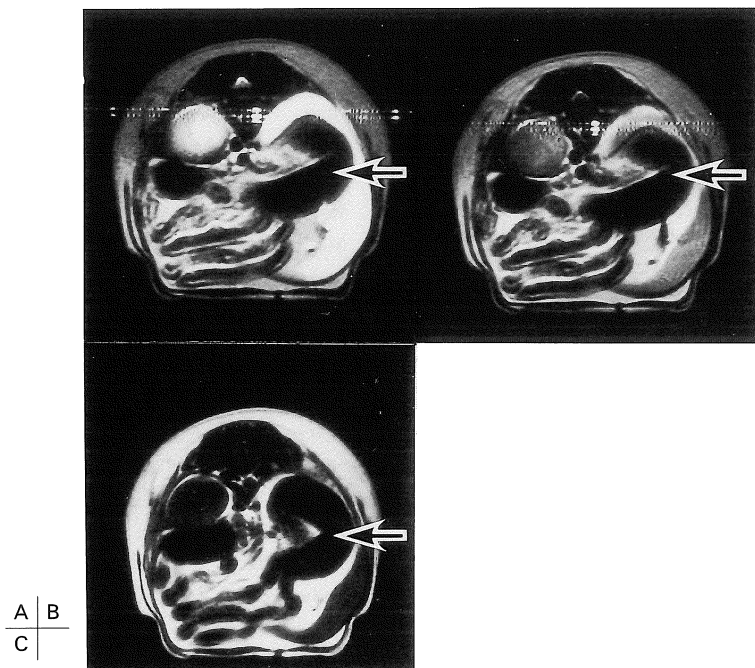


Fig. 3. A : T<sub>2</sub> weighted image of lower abdomen of dog after oral administration of OMP. (TR/TE=2200/90)

B : Proton density image of lower abdomen of dog after oral administration of OMP. (TR/TE=2200/29)

C : T<sub>1</sub> weighted image of lower abdomen of dog after oral administration of OMP. (TR/TE=500/25).

Arrow shows colon.

果によるモーションアーチファクトの増幅は認められなかったが、このことは麻酔下で消化管の蠕動運動が抑制されていたためと考えられる。

SPIO は磁化率が高いことから局所に高濃度に分布すると磁化率アーチファクトを示す<sup>13)</sup>ことが知られている。OMP は製剤の工夫により消化管内に均一に分布しアーチファクトをほとんど示さない<sup>13)</sup>が、臨床における MRI 検査では磁化率アーチファクトが顕著に現れるグラディエントエコー系列の撮像方法よりも 180° パルスを使用するターボスピニエコー法等の使用が望まれる<sup>14)</sup>。

ブルーベリージュースや AMI-227 は、条件設定により陽性陰性いずれの造影効果も示すこ

とが報告<sup>15),17)</sup>されているが、逆にその造影効果は撮像条件や消化管内の造影剤の濃度の影響を受けやすいともいえる。また、陽性造影剤も撮像条件および造影剤の濃度によって陽性の造影効果に影響を与える<sup>16)</sup>。フッ素化合物や硫酸バリウムは、その製剤中にプロトンがほとんど存在しないことで撮像条件にかかわらず陰性の造影効果を示すとされている<sup>8),11)</sup>。しかし、製剤中に若干の水素原子を持つために僅かに信号を出すので、陰性の造影効果は SPIO の方が大きい<sup>20)</sup>。イヌにおける OMP 投与による T<sub>1</sub> 強調画像においても、良好な消化管の陰性造影効果が示された。このことは、OMP が撮像条件を問わず陰性の造影効果を示すことを意味する<sup>2),14)</sup>。

SPIO は粒子が大きいほど  $T_2$  の緩和が大きく、そのため TE の影響を受けることが知られている<sup>18)~20)</sup>。しかしながら、比較的粒子の大きい OMP であっても通常の撮像では問題とはならないことが判明した。

最近では新しい技術として MR-CP が可能となっているが、MR-CPにおいては消化管内溶液が高信号に描出されるため十二指腸と重なる部分の描出が困難となることがある。OMP の陰性造影効果により、十二指腸と交差する部分の胆道脾管がより明瞭に描出される可能性を考えられる<sup>21),22)</sup>。

今回の検討では脂肪抑制法および呼吸停止下での超高速撮影で撮像した場合の造影効果について検討を行っていないが、これらの臨床的評価は今後の臨床治験で明確とされるであろう。

本研究より、臨床での磁場強度 (1.5 T) で OMP の陰性造影効果が確認されたことから、OMP は消化管とそれに隣接する臓器との識別および腫瘍性病変の検出に有用な陰性造影剤であると考えられた。

## 文 献

- 1) 高橋昌哉, Fritz-Zieroth B : 経口用 Gd-DTPA 製剤を用いたラットの腹部の MRI. 日磁医誌, 13(1) : 60-65, 1993.
- 2) Laniado M, Kornmesser W, Hamm B, et al. : MR imaging of the gastrointestinal tract : value of Gd-DTPA. AJR, 150 : 817-821, 1988.
- 3) 志賀淑子, 河村康孝, 岩崎俊子, 他 : 経口造影剤クエン酸鉄アノミウムによる上腹部 MRI 診断能の検討. 日磁医誌, 11(3) : 182-188, 1991.
- 4) 渡部徳子, 中村順二, 中村利夫, 他 : MRI 用経口消化管造影剤の開発のための基礎研究 : クエン酸第二鉄アノミウムによる緩和効果. 日磁医誌, 10(6) : 521-527, 1990.
- 5) 古賀けい子, 中村順二, 中村利夫, 他 : クエン酸鉄アノミウムを主成分とした新しい経口消化管造影剤の MRI 信号強度増強効果について. 日磁医誌, 10(2) : 114-121, 1990.
- 6) 戸上 泉, 上者郁夫, 三森天人, 他 : クエン酸鉄アノミウムを主成分とする経口造影剤を用いた胃癌の MRI. 画像診断, 12(5) : 580-588, 1992.
- 7) Ballinger R, Magin RL, Webb AG : Sucrose polyester : a new oral contrast agent for MRI. Magn Reson Med, 19 : 199-202, 1991.
- 8) Mattry RF, Trambert MA, Brown JJ, et al. : Oral contrast agents for magnetic resonance imaging : results of the phase III trials with Imagent GI as an oral magnetic resonance contrast agent. Invest Radiol, 26 : 65-66, 1991.
- 9) Listinsky JJ, Bryant RG : Gastrointestinal contrast agents : a diamagnetic approach. Magn Reson Med, 8 : 285-292, 1988.
- 10) Li KCP, Tart RP, Fitzsimmons JR, et al. : Barium sulfate suspension as a negative oral MRI contrast agent : in vitro and human optimization studies. Magn Reson Imag, 9 : 141-150, 1991.
- 11) Marti-Bonmati L, Vilar J, Panigua JC, Talens A : High density barium sulphate as an MRI oral contrast. Magn Reson Imag, 9 : 259-261, 1991.
- 12) 吉岡寛康, 堀之内隆, 細見尚弘, 他 : 直腸癌に対する MRI 造影剤—各種バリウム製剤の評価—. 日磁医誌, 13(5) : 299-303, 1993.
- 13) Lönnmark M, Hemmingsson A, Carlsten J, et al. : Superparamagnetic particles as an MRI contrast agent for the gastrointestinal tract. Acta Radiologica, 29(5) : 599-602, 1988.
- 14) Øskendal AN, Jacobsen TF, Gundersen HG, Rinck PA, Rummeny E : Superparamagnetic particles as an oral contrast agent in abdominal magnetic resonance imaging. Invest Radiol, 26 : 67-70, 1991.
- 15) Rogers J, Lewis J, Jephson L : The use of AMI-227 as an oral contrast agent for magnetic resonance imaging. Invest Radiol, 29 : 81-82, 1994.
- 16) Hahn PF, Stark DD, Saini S, et al. : Ferrite particles for bowel contrast in MR imaging : design issues and feasibility studies. Radiology, 164 : 37-41, 1987.
- 17) 平石久美子, 相模昭彦, 久田洋一, 他 : 上腹部 MRI におけるブルーベリージュースの経口造影効果についての臨床的検討. 日磁医誌, 14(4) : 201-209, 1994.

- 18) Thomassen T, Wiggen UN, Gundersen HG, et al.: Structure activity relationship of magnetic particles as MR contrast agents. *Magn Reson Imag*, 9 : 255-258, 1991.
- 19) Jephson L, Lewis J, Jacobs P, Hahn PF, Stark DD : The effects of iron oxides on proton relaxivity. *Magn Reson Imag*, 6 : 647-653, 1988.
- 20) Muller RN, Gillis P, Moiny F, Roch A : Transverse relaxivity of particulate MRI contrast media: from theories to experiments. *Magn Reson Med*, 22 : 178-182, 1991.
- 21) 高原太郎, 佐伯光明, 野坂俊介, 他:陰性造影剤としての高濃度フェリセルツの有用性—MR Cholangiographyへの応用. *日磁医誌*, S14 : 398, 1994.
- 22) Takehara Y, Ichijo K, Tooyama N, et al.: Breath-hold MR cholangiopancreatography with a long-echo-train fast spin-echo sequence and a surface coil in chronic pancreatitis. *Radiology*, 192 : 73-78, 1994.

## Contrast Effect of Oral Magnetic Particles as an Abdominal MRI Contrast Agent in Rats and Dogs

Kazutaka YAMADA<sup>1</sup>, Manabu MATSUMURA<sup>1</sup>, Hiroshi SUGIHARA<sup>1</sup>,  
Yuko NAGATOME<sup>1</sup>, Hirotoshi KATO<sup>2</sup>, Masahisa KOGA<sup>2</sup>,  
Fumio SHISHIDO<sup>3</sup>, Hiroo IKEHIRA<sup>2,4</sup> Yukio TATENO<sup>2</sup>,  
Masayoshi FUJIMAKI<sup>1</sup>

<sup>1</sup>Daiichi Pharmaceutical Co.

16-13 Kita-Kasai 1-Chome Edogawa-ku, Tokyo 134

<sup>2</sup>National Institute of Radiological Science, Division of Clinical Research

<sup>3</sup>Department of Radiology, Fukushima Medical University

<sup>4</sup>Department of Radiology, Chiba University Hospital

Oral magnetic particles (OMP) (Daiichi Pharmaceutical Co.), superparamagnetic iron oxide, is a novel oral contrast agent. This agent shows a strong susceptibility effect; hence it has a negative contrast property in the gastrointestinal (GI) tract. The contrast effect of OMP was compared with that of olive oil or ferric juice as a positive contrast agent in Wistar rats ( $n=3$ ). MR images were obtained by 1.5 T clinical unit (Gyrosan S15, Philips Medical Systems) for the investigation. Each compound was administered orally at a dose of 4 ml to rats. Signal intensity of GI tract was extinct after OMP administration, while that of GI tract increased after olive oil or ferric juice administration. It was difficult to distinguish between GI tract and abdominal fat with the positive contrast agent, whereas the distinction was not difficult with OMP. Furthermore, OMP was administered to beagle dogs ( $n=2$ ) at 280 ml in seven divided doses at appropriate time intervals in 4 hours on account of homogeneous distribution of the agent in the GI tract. MR images were obtained in  $T_1$  weighted,  $T_2$  weighted and proton density. GI tract showed no signal intensity at any images, so it was considered that the contrast effect of OMP represented negative enhancement at every pulse sequence in 1.5 T magnetic field strength. From these findings, it is concluded that OMP is a useful abdominal contrast agent to distinguish between GI tract and the contiguous organs, and for detection of abdominal tumors such as ovarian tumors.